

## بررسی تجربی جریان هوا در پایین دست سیم های چند رشته ای

محمد علی اردکانی<sup>۱\*</sup>، عیسی ایروانی<sup>۲</sup>

۱- دانشیار پژوهشکده مکانیک، سازمان پژوهش های علمی و صنعتی ایران، تهران

۲- دانشجوی کارشناسی ارشد، دانشگاه آزاد اسلامی واحد تهران جنوب، تهران

\* تهران، صندوق پستی ۱۱۵-۳۳۱۶۵ ardekani@irost.org

**چکیده-** به منظور جلوگیری از سقوط افراد شناور و یا مدل به داخل تونل باد عمودی، در قسمت خروجی نازل، توری محافظ نصب می شود. از آنجا که جریان هوا دارای بیشترین سرعت در این قسمت از تونل باد می باشد، لذا افت فشار ایجاد شده ناشی از توری محافظ بسیار بالا و قابل ملاحظه است. از طرف دیگر به دلیل این که توری محافظ به طور متناوب در معرض نیروهای دینامیکی ناشی از سقوط افراد شناور و یا مدل قرار دارد، لذا باید به منظور جلوگیری از وقوع پدیده خستگی از سیم های چند رشته ای در ساخت آن استفاده شود. در این تحقیق با استفاده از روش اختلاف مومنت ضریب نیروی پسا برای سیم چند رشته ای و مفتول اندازه گیری و مقایسه شده است. برای این منظور از دستگاه جریان سنج سیم داغ با پرتاب یک بعدی استفاده شده است. نتایج نشان می دهد که در اعداد رینولدز حدود  $2 \times 10^3$ ، ضریب نیروی پسا برای سیم چند رشته ای  $16\%$  از مفتول بزرگتر است که این مقدار با افزایش عدد رینولدز کاهش می یابد. به طوری که برای عدد رینولدز  $10^4$  ضریب نیروی پسا برای سیم چند رشته ای و مفتول تقریباً برابر می باشد.

**کلیدواژگان:** توزیع سرعت، شدت اختشاشها، ضریب نیروی پسا.

## Experimental investigation of airflow at downstream of multi strand cables

M. A. Ardekani<sup>1\*</sup>, E. Iravani<sup>2</sup>

1- Assoc. Prof., Dept.t of Mech. Eng., Iranian Research Org. for Science and Tech. (IROST), Tehran, Iran

2- MSc. Student, Islamic Azad Univ., South Tehran Branch, Tehran, Iran

\* P.O.B. 33165-115, Tehran, Iran. ardekani@irost.org

**Abstract-** In a vertical wind tunnel, in order to prevent persons or an experimental model from falling, a protective screen should be installed at the end of the nozzle section. Since the air has the maximum velocity at this section, the pressure drop due to the protective screen will be significantly high. On the other hand, as the protective screen is alternatively exposed to dynamic forces due to free fall of the floating persons or the model, the screen wires will experience fatigue. To prevent this, multi strand cables should be used in the manufacturing of these protective screens. In this research work, using the momentum difference method, drag coefficient for the multi strand cables and circular rods has been measured and compared. For this purpose, a hot wire anemometer (HWA) with a one-dimensional probe has been used. Results show that at Reynolds number in proximity of  $2 \times 10^3$ , the drag coefficient for the multi strand cable exceeds that of a circular rod by 16% and that this amount decreases with further increase in Reynolds number. The trend is such that for Reynolds number of  $10^4$ , the drag coefficients of the multi strand cable and circular rod are almost equal.

**Keywords:** Velocity Distribution, Turbulence Intensity, Drag Coefficient.

چند رشته‌ای ساخته شود. برای بررسی افت فشار توری محافظه و تجزیه و تحلیل آن مناسب است که ضریب نیروی پسا و همچنین جریان پایین دست سیم چند رشته‌ای اندازه‌گیری و بررسی شود.

یکی از روش‌های اندازه‌گیری نیروی پسا، استفاده از روش اختلاف مومنت است. در رابطه با روش اختلاف مومنت، تحقیقات متعددی انجام گرفته است. وندم [۲]، با استفاده از معادلات پیوستگی و بقاء مومنتم خطی برای حجم کنترلی که جسم را در برگرفته، و با در نظر گرفتن مقدار تنش‌های رینولذز، ضریب نیروی پسا را مشخص نمود. گلداشتاین [۳]، فشار استاتیکی در ناحیه دنباله را مشخص کرد. برای استفاده از معادله ارایه شده توسط گلداشتاین نیاز به اندازه‌گیری سرعت جریان هوا در ناحیه دنباله و همچنین اغتشاش‌ها به صورت سه بعدی می‌باشد. با افزایش فاصله از مدل، شدت اغتشاش‌های جریان هوا کاهش یافته و اغتشاش‌ها را می‌توان همگن فرض نمود. در این حالت با استفاده از جریان‌سنج با پراب یک بعدی [۴]، می‌توان نیروی پسا را اندازه‌گیری کرد.

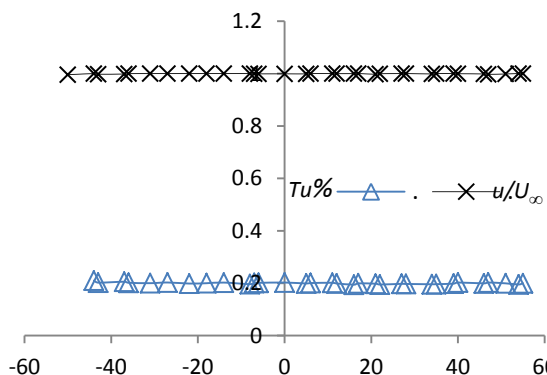
در این مقاله ضریب نیروی پسا، توزیع سرعت جریان هوا و شدت اغتشاش‌های آن پایین دست سیم چند رشته‌ای و مفتول، در اعداد رینولذز مختلف اندازه‌گیری شده، و نتایج حاصل مقایسه و ارائه می‌شود.

## ۲- روش آزمایش

تمام آزمایش‌ها با استفاده از تونل باد مدار بسته، در سازمان پژوهش‌های علمی و صنعتی ایران انجام پذیرفته است. شکل ۱ تونل باد فوق را نشان می‌دهد که از نوع مدار بسته می‌باشد. این تونل باد دارای مقطع اتاق آزمون به ابعاد  $(60\text{cm} \times 60\text{cm})$  و طول ۲ متر است. تونل باد فوق دارای فن به قطر ۱۰۵ سانتی‌متر بوده که از نوع جریان محوری می‌باشد. کنترل سرعت جریان هوا با استفاده از کنترل دور فن در بازه  $4\text{m/s}$  الی  $28\text{m/s}$  قابل تنظیم است. برای بدست آوردن جریان مناسب، در اتاق آرامش این تونل باد، تعداد ۴ عدد توری قرار گرفته که یک عدد آن قبل از لانه زنبوری و سه عدد آن بعد از لانه زنبوری قرار دارد. شکل ۲ تغییرات سرعت بی‌بعد شده جریان هوا و شدت اغتشاش‌های آن را در مرکز تونل باد، یا محل قرارگیری مفتول نشان می‌دهد. سرعت جریان هوا بر مبنای سرعت در فاصله ۵۰ سانتی‌متری بالادست مرکز اتاق

## ۱- مقدمه

یکی از انواع تونل بادهای مادون‌صوت، تونل باد عمودی می‌باشد. این تونل باد برای آزمایش اسپین هوپیما، چرخ‌بال‌ها و همچنین شبیه‌سازی عملیات سقوط آزاد چتربازان کاربرد دارد. با توجه به این که تونل باد فوق عمودی است، برای جلوگیری از سقوط افراد شناور و یا مدل، در دهانه خروجی نازل، از توری محافظه استفاده می‌شود. با توجه به این که در محوطه پرواز سرعت جریان هوا و در نتیجه فشار دینامیکی بیشترین مقدار خود را دارد، از این رو افت فشار بسیار زیادی در این قسمت از تونل باد ایجاد می‌شود که می‌تواند حدود ۲۰٪ تا ۳۰٪ افت فشار کل تونل باد باشد. بنابراین باید سعی کرد تا این افت فشار را کاهش داد. کاربرد دیگر توری، استفاده از آن در اتاق آرامش تونل باد است. این نوع توری، توری متداول بوده و هدف استفاده از آن کاهش شدت اغتشاش‌های محوری جریان هوا می‌باشد [۱]. مش (تعداد سوراخ در یک ایسچ) توری‌های متداول حدود ۱۶ تا ۲۴ می‌باشد. ولی مش توری محافظه حدود  $5/0$  یا کمتر از آن است. بدیهی است با کاهش عدد مش توری، افت فشار ناشی از توری کاهش می‌باشد. لذا برای توری محافظه که عدد مش آن کوچک می‌باشد، افت فشار بستگی شدیدی به نوع سیم توری دارد. شکل سیم نیز تأثیر زیادی می‌تواند در کاهش نیروی پسا و در نتیجه کاهش افت فشار توری داشته باشد. بهترین شکل برای سیم توری، شکلی است که ضریب پسای آن کم باشد. این شکل به صورت ایرفویل می‌باشد. ولی با توجه به کاربرد آن در توری، احتمال تغییر در زاویه حمله و در نتیجه افزایش نیروی پسای آن، بسیار بالا می‌باشد. از این رو استفاده از سیم‌هایی به شکل ایرفویل یا بیضی در توری محافظه مناسب نیست. بنابراین نیاز است که از سیم‌هایی با مقاطع متقاضان در توری استفاده شود، که تنها مقطع متقاضان دایره می‌باشد. از سوی دیگر، همان طور که بیان شد، هدف استفاده از توری محافظه، جلوگیری از سقوط افراد و یا مدل به داخل تونل باد است. از این رو نیروهای مختلف و متناوبی به توری وارد می‌شود. بنابراین سیم توری باید به گونه‌ای باشد که مقاومت لازم در برابر خستگی و نیروهای متناوبی که بر آن اعمال می‌شود را داشته باشد. به منظور جلوگیری از پارگی سریع سیم توری و همچنین افزایش ضریب ایمنی آن، مناسب است که توری محافظه از سیم‌های



شکل ۲ تغییرات سرعت بی بعد شده جریان هوا و شدت  
اغتشاش‌های آن در امتداد اتاق آزمون،  $U_0 = 10/5$  (m/s)

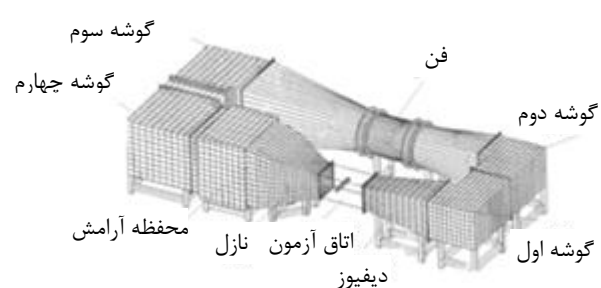
جدول ۱ مشخصات سیم‌های چند رشته‌ای و مفتول‌های مورد  
آزمایش در سرعت‌های مختلف جریان هوا

ردیف	نوع	قطر (mm)	سرعت جریان هوا (m/s)	عدد رینولدز	ضریب نیروی پسا مطابق شکل ۳
۱	سیم	۳	۱۰	۱۵۷۰	-
۲	سیم	۳	۱۵	۲۳۵۶	-
۳	سیم	۳	۲۰	۳۱۴۰	-
۴	مفتول	۳	۱۰	۱۵۷۰	۰/۹۶
۵	مفتول	۳	۱۵	۲۳۵۶	۰/۹۷
۶	مفتول	۳	۲۰	۳۱۴۰	۰/۹۸
۷	سیم	۱۰	۱۰	۵۲۳۵	-
۸	سیم	۱۰	۱۵	۷۸۵۳	-
۹	سیم	۱۰	۲۰	۱۰۴۷۰	-
۱۰	مفتول	۱۰	۱۰	۵۲۳۵	۱/۰۵
۱۱	مفتول	۱۰	۱۵	۷۸۵۳	۱/۱۲
۱۲	مفتول	۱۰	۲۰	۱۰۴۷۰	۱/۲

۳- اندازه‌گیری نیروی پسا به روش اختلاف مومنت  
ون دم [۲]، با اعمال معادلات پیوستگی و بقاء مومنت  
خطی به حجم کنترلی که جسم را در بر گرفته و با در نظر  
گرفتن مقدار تنش‌های رینولدز ضریب نیروی پسا را مطابق  
معادله (۱) ارائه کرد:

$$C_d = \int \left[ \frac{P_{s,e} - P_{s,w}}{q_\infty} \right] d \left( \frac{y}{L} \right) + 2 \int \frac{U}{U_\infty} \left( 1 - \frac{U}{U_\infty} \right) d \left( \frac{y}{L} \right) + \frac{1}{q_\infty} \int \tau_{xx} \cdot d \left( \frac{y}{L} \right) \quad (1)$$

آزمون  $U_0$  بی بعد شده است. مطابق شکل ۲، تغییرات سرعت و  
یا به عبارت دیگر گرادیان فشار در این منطقه ناچیز می‌باشد.  
برای اندازه‌گیری پروفیل سرعت جریان هوا و شدت  
اغتشاش‌های آن در پایین دست سیم‌های چند رشته‌ای و  
مفتول، از دستگاه جریان‌سنج سیم داغ، ساخت شرکت فرا  
سنچس صبا استفاده شده است. پراب مورد استفاده از نوع یک  
بعدی بوده و سنسور آن از جنس تنگستن ۵ میکرونی است.  
دستگاه جریان‌سنج به همراه پраб دارای فرکانس قطع ۱۶  
کیلوهرتز می‌باشد. داده‌های اندازه‌گیری شده توسط جریان‌سنج  
سیم داغ از طریق کارت A/D (آنالوگ به دیجیتال) به رایانه  
ارسال و توسط نرمافزار فلؤئنت تجزیه و تحلیل می‌شود. برای  
جابجایی پраб از مکانیزم انتقال دهنده استفاده شده است که  
دقت این مکانیزم  $0.05$  میلی‌متر در سه جهت است. حرکت  
این مکانیزم انتقال دهنده توسط رایانه و نرمافزار کنترل می‌شود.  
سیم‌های مورد استفاده در این آزمایش، از نوع چند رشته‌ای به  
قطر ۳ و ۱۰ میلی‌متر بوده و آزمایش‌ها در اعداد رینولدز  
مختلف انجام شده است. جدول ۱ مشخصات سیم‌های چند  
رشته‌ای و مفتول‌های مورد آزمایش را در سرعت‌های مختلف  
جریان هوا، نشان می‌دهد. همچنین ضریب نیروی پسا  
مفتول‌های فوق، طبق منحنی ارائه شده توسط شلیختینگ [۵]  
در شکل ۳ ارائه شده است. شکل ۴ تصویر سیم چند رشته‌ای را  
نشان می‌دهد. قطر این سیم  $3$  میلی‌متر بوده که از ۷ رشته  
سیم به قطر  $1$  میلی‌متر تشکیل شده است. لذا زبری یا ناصافی  
سطح آن حدود  $16\%$  قطر سیم چند رشته‌ای است. توزیع  
سرعت جریان هوا و شدت اغتشاش‌های آن در فواصل بی‌بعد  
 $(X/D) = 2, 5, 7, 10, 15, 20, 25, 30, 35$  در پایین دست  
سیم چند رشته‌ای و مفتول برای اعداد رینولدز  $1570, 2356, 3140, 5235, 7853, 10470$  ارائه شده است.



شکل ۱ تونل باد مدار بسته

$$C_d = \int \left( \frac{p_{s,e} - p_{s,w}}{q_\infty} \right) d\left(\frac{y}{L}\right) + 2 \int \frac{U}{U_\infty} \left( 1 - \frac{U}{U_\infty} \right) d\left(\frac{y}{L}\right) - 2 \int \frac{\overline{u'^2}}{U_\infty^2} d\left(\frac{y}{L}\right) \quad (3)$$

معادله (۳) به معادله ون دم مشهور است. این معادله را می توان در هر نقطه ای در پایین دست مدل که مقادیر جریان هوا را بتوان در آنجا به طور دقیق اندازه گیری نمود، کاربرد دارد. با توجه به معادله (۳)، می توان آن را به سه انتگرال تقسیم کرد که انتگرال اول آن، عبارت اختلاف فشار، انتگرال دوم عبارت اختلاف مومنت و انتگرال سوم عبارت تنش های نیروی پسا بر حسب عدد رینولدز برای استوانه [۵]

$$p_{s,e} = p_{s,w} + q' \quad , \quad q' = \frac{1}{2} \rho (\overline{u'^2} + \overline{v'^2} + \overline{w'^2}) \quad (4)$$

$$C_d = 2 \int_w \frac{U}{U_\infty} \left( 1 - \frac{U}{U_\infty} \right) d\left(\frac{y}{L}\right) + \int_w \left( \frac{\overline{v'^2} + \overline{w'^2} - \overline{u'^2}}{U_\infty^2} \right) d\left(\frac{y}{L}\right) \quad (5)$$

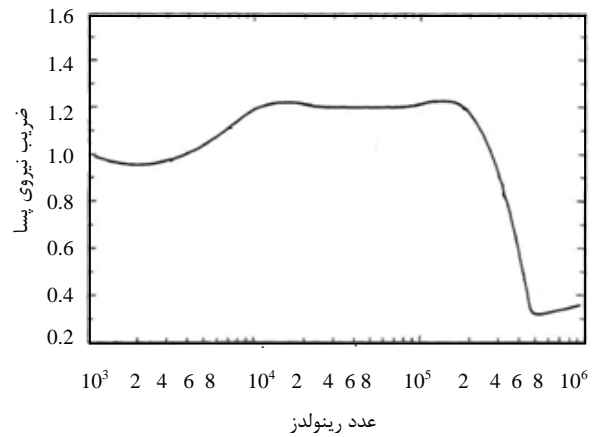
و '  $W$  نوسانات عرضی سرعت جریان هوا می باشند. معادله (۵) به معادله اصلاح شده ون دم مشهور است. با فرض شدت اغتشاش های همگن و یا به عبارت دیگر  $U' = V' = W'$ ، معادله (۵) ساده شده و به صورت معادله (۶) بیان می شود:

$$C_d = 2 \int_w \frac{U}{U_\infty} \left( 1 - \frac{U}{U_\infty} \right) d\left(\frac{y}{L}\right) + \int_w \left( \frac{\overline{u'^2}}{U_\infty^2} \right) d\left(\frac{y}{L}\right) \quad (6)$$

در این حالت می توان با استفاده از جریان سنج سیم داغ با پر اب یک بعدی و فقط با اندازه گیری شدت اغتشاش ها در جهت جریان، ضریب نیروی پسا را به دست آورد.

#### ۴- نتایج و بحث

همان طور که در مقدمه بیان شد، برای اندازه گیری ضریب نیروی پسا، مطابق معادلات (۱) و (۲)، لازم است که توزیع



شکل ۳ منحنی ضریب نیروی پسا بر حسب عدد رینولدز برای استوانه [۵]

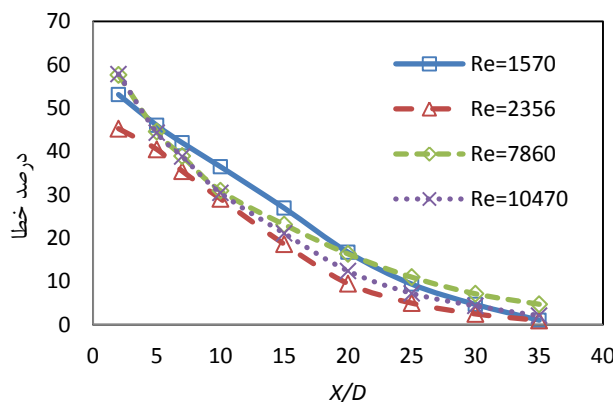


شکل ۴ نمونه سیم چند رشته ای استفاده شده در آزمایش

$p_{s,e}$  فشار استاتیکی در ناحیه خارج از دنباله یا بالا دست مدل،  $p_{s,w}$  فشار استاتیکی در ناحیه دنباله مدل،  $U$  سرعت محلی،  $U_\infty$  سرعت جریان آزاد،  $q_\infty$  فشار دینامیکی جریان آزاد،  $y$  فاصله قائم در راستای عمود بر دنباله،  $\tau_{xx}$  تنش برشی و  $L$  نیز طول مشخصه مدل است که برای استوانه قطر آن در نظر گرفته می شود. مقدار  $\tau$  را می توان به صورت مجموع تنش های لزجی و تنش های رینولدز مطابق معادله (۲) بیان کرد.

$$\tau_{xx} = \mu \left( 2 \frac{\partial U}{\partial x} - \frac{2}{3} \nabla \cdot \vec{V} \right) - \rho \overline{u'^2} - 2 \bar{U} \overline{\rho' u'} - \overline{\rho' u'^2} \quad (2)$$

که در آن  $\rho$  نوسانات چگالی و  $u'$  نوسان سرعت جریان هوا در جهت جریان آزاد می باشد. مقدار مؤلفه تنش لزجی در معادله (۲) در جریان های با اعداد رینولدز بالا، بسیار کمتر از مؤلفه های تنش های رینولدز خواهد بود. همچنین برای جریان های تراکم ناپذیر، نوسانات چگالی را می توان ناچیز در نظر گرفت. از این رو معادله (۱) را می توان به صورت رابطه (۳) بازنویسی کرد.



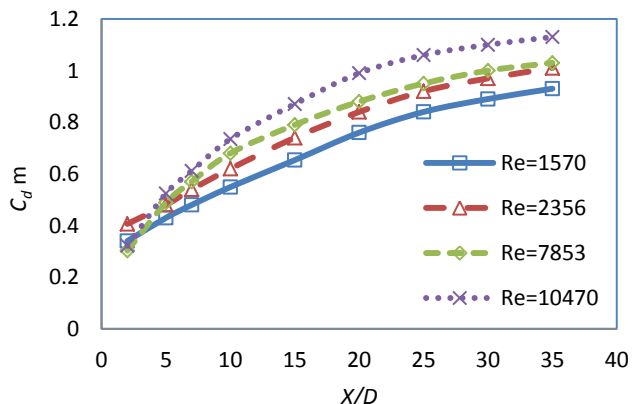
شکل ۶ توزیع خطای اندازه گیری ضریب نیروی پسا مفتول بر حسب فاصله بی بعد شده در پایین دست برای اعداد رینولدز مختلف

شکل ۷، توزیع سرعت بی بعد شده جریان هوا در پایین دست مدل ها، برای عدد رینولدز ۱۵۷۰ و فاصله  $X/D=30$  مطابق شکل ۷، سرعت جریان هوا در ناحیه دنباله سیم چند رشته ای، دارای نقصان بیشتری نسبت به مفتول می باشد. همچنین پهنای ناحیه دنباله سیم چند رشته ای از مفتول بزرگتر است. بنابراین می توان نتیجه گرفت که ضریب نیروی پسا ناشی از اختلاف مومنتم ( عبارت اول در معادله (۲))، برای سیم چند رشته ای از مفتول بزرگتر است. برای بررسی بهتر این موضوع، توزیع ضریب نیروی پسا ناشی از اختلاف مومنتم برای سیم چند رشته ای و مفتول بر حسب فاصله بی بعد شده در پایین دست، برای عدد رینولدز ۱۵۷۰، در شکل ۸، نشان داده است. مطابق شکل فوق، ضریب نیروی پسا ناشی از اختلاف مومنتم برای هر دو مدل با افزایش فاصله در پایین دست، افزایش یافته و در فاصله  $X/D=35$  به مقدار واقعی نزدیک می شود. در این فاصله ضریب نیروی پسا سیم چند رشته ای حدود ۱۵٪ از مفتول بزرگتر است. (شایان ذکر است که سهم ضریب نیروی پسا ناشی از اختلاف مومنتم برای مفتول حدود ۹۶٪ و برای سیم چند رشته ای حدود ۹۷٪ از کل ضریب نیروی پسا می باشد).

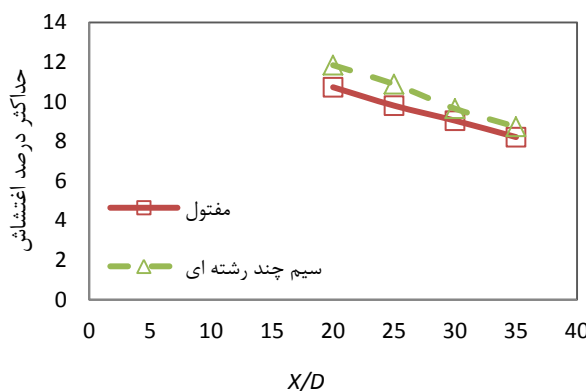
توزیع شدت اغتشاش های جریان هوا برای عدد رینولدز ۱۵۷۰ و فاصله  $X/D=30$  برای سیم چند رشته ای و مفتول در شکل ۹ نشان داده شده است. مطابق شکل ۹، شدت اغتشاش های سیم چند رشته ای از مفتول بیشتر است، در نتیجه ضریب نیروی پسا ناشی از تنفس های رینولدز ( عبارت دوم در

سرعت جریان هوا و شدت اغتشاش های آن در ناحیه دنباله جسم مورد نظر، اندازه گیری شود. با توجه به اینکه شدت اغتشاش های جریان هوا در فواصل نزدیک به مدل ها (سیم چند رشته ای و مفتول) بالا می باشد، لذا در این فواصل ( $X/D < 20$ ) اغتشاش های جریان سه بعدی بوده و فرض همگن بودن آنها صحیح نیست [۶]. بنابراین استفاده از جریان سنج سیم داغ با پراب یک بعدی و یا استفاده از معادله (۲)، در این نواحی صحیح نبوده و با خطای زیادی همراه است. به منظور به دست آوردن فاصله مناسب پایین دست مفتول، برای اندازه گیری ضریب نیروی پسا با استفاده از جریان سنج سیم داغ و پраб یک بعدی، تغییرات ضریب نیروی پسا مفتول بر حسب فاصله بی بعد شده در پایین دست، برای اعداد مختلف رینولدز در شکل ۵، نشان داده شده است. خطای اندازه گیری ضریب نیروی پسا، برای اعداد مختلف رینولدز بر حسب فاصله بی بعد شده، در شکل ۶ نشان داده شده است. مطابق شکل ۶، به علت بالا بودن شدت اغتشاش های جریان هوا و همگن نبودن آن در فاصله  $X/D=2$  خطای اندازه گیری حدود ۶۰٪ می باشد. با افزایش فاصله در پایین دست، به تدریج از میزان خطای کاسته شده، به طوری که در فاصله  $X/D=30$  این خطای حدود ۱٪ تا ۵٪ می رسد. بنابراین با توجه به شکل های ۵ و ۶، می توان نتیجه گرفت که به منظور داده برداری صحیح لازم است تا اندازه گیری ها در فواصل  $X/D > 30$  انجام شود. در نتیجه می توان از جریان سنج سیم داغ با پраб یک بعدی در این فواصل استفاده کرد.

در این تحقیق اگرچه آزمایش ها در اعداد رینولدز مختلفی انجام شده است، اما نتایج مربوط به اعداد رینولدز ۱۵۷۰، ۳۱۴۰، ۱۰۴۷۰ در این مقاله ارائه شده است.



شکل ۵ توزیع ضریب نیروی پسا مفتول بر حسب فاصله بی بعد شده در پایین دست برای اعداد رینولدز مختلف



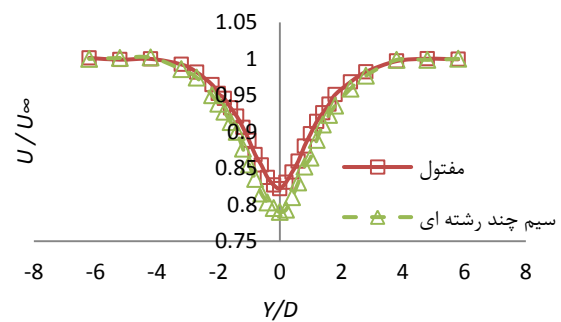
شکل ۱۰ توزیع حداکثر شدت اغتشاش جریان هوا بر حسب فاصله بی بعد ( $X/D$ ) برای عدد رینولدز ۱۵۷۰

مطابق شکل ۱۰، حداکثر شدت اغتشاش ها در  $X/D=۲۰$  می باشد. حدود ۱۰٪ تا ۱۲٪ بوده و با افزایش فاصله در پایین دست، به تدریج کاهش می یابد. به طوری که در  $X/D=۳۵$  به حدود ۸٪ کاهش می یابد. مطابق تحقیقات انجام شده [۶]، هنگامی که تقلیل می یابد. اغتشاش های جریان هوا به اندازه کافی کم باشد، می توان اغتشاش های جریان را با دقت خوبی همگن فرض کرد. شکل ۱۱، توزیع ضریب نیروی پسا ناشی از تنش های رینولدز ۱۱، توزیع ضریب نیروی پسا ناشی از تنش های رینولدز ۱۵۷۰ را بر حسب فاصله بی بعد ( $X/D$ ) برای عدد رینولدز ۱۵۷۰ بر حسب مقدار بیشتری دارد ولی مقدار فوق نسبت به ضریب نیروی پسا ناشی از اختلاف مومنت ناچیز می باشد. مطابق شکل ۱۱، در فاصله  $X/D=۳۵$  سهم ضریب نیروی پسا ناشی از تنش های رینولدز برای مفتول حدود ۳٪ و برای سیم چند رشته ای حدود ۳/۵٪ از کل ضریب پسا می باشد. شکل ۱۲، توزیع سرعت جریان هوا پایین دست سیم چند رشته ای و مفتول را برای عدد رینولدز ۳۱۴ و در فاصله  $X/D=۳۰$  نشان می دهد.

مطابق شکل ۱۲، نقصان سرعت جریان هوا برای سیم چند رشته ای از مفتول بیشتر است، همچنین پنهانی ناحیه دنباله آن نیز بزرگتر می باشد.

شکل ۱۳، توزیع ضریب نیروی پسا مفتول و سیم چند رشته ای (مجموع ضریب نیروی پسا ناشی از تنش رینولدز و اختلاف مومنت) را برای عدد رینولدز ۱۵۷۰ بر حسب فواصل مختلف در پایین دست نشان می دهد.

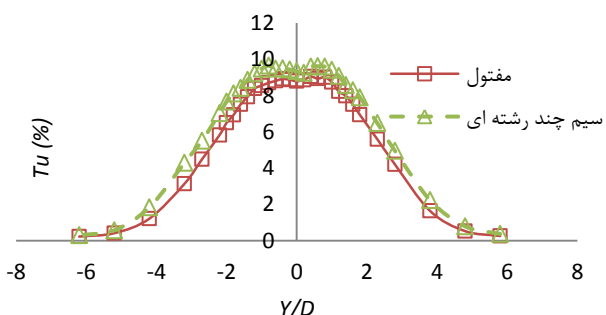
معادله (۲)، برای سیم چند رشته ای مقدار بزرگتری نسبت به مفتول خواهد بود. برای بررسی بیشتر، توزیع حداکثر شدت اغتشاش های جریان هوا برای عدد رینولدز ۱۵۷۰ بر حسب فاصله بی بعد ( $X/D > 20$ ) در شکل ۱۰ نشان داده می شود.



شکل ۷ توزیع سرعت بی بعد شده برای مدل های مورد آزمایش در فاصله  $X/D=۳۰$  برای عدد رینولدز ۱۵۷۰



شکل ۸ توزیع ضریب نیروی پسا ناشی از اختلاف مومنت بر حسب فاصله بی بعد شده در پایین دست مدل های مورد آزمایش برای عدد رینولدز ۱۵۷۰



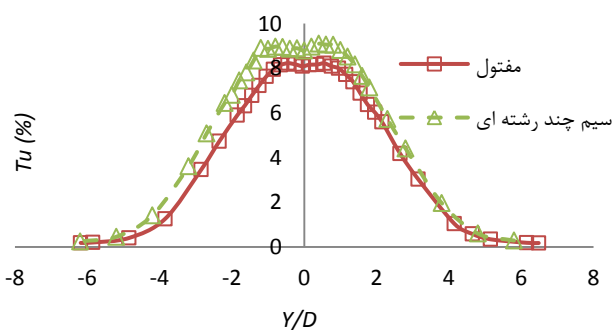
شکل ۹ توزیع شدت اغتشاش جریان هوا برای مدل های مورد آزمایش در فاصله  $X/D=۳۰$  برای عدد رینولدز ۱۵۷۰

۱ انطباق خوبی دارد و خطای آن حدود ۰.۲٪ می باشد. در نتیجه صحت داده های اندازه گیری شده در این فاصله مشخص می شود. با مقایسه داده های مربوط به سیم چند رشته ای و مفتول در شکل ۱۳، می توان تشخیص داد که ضریب نیروی پسا سیم چند رشته ای حدود ۱۶٪ بالاتر از مفتول است.

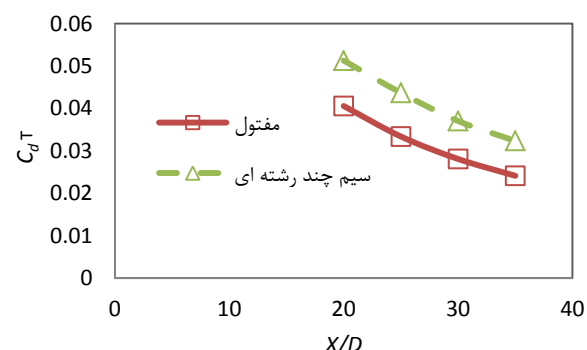
بنابراین می توان نتیجه گرفت که ضریب نیروی پسا ناشی از اختلاف مومنت برای سیم چند رشته ای از مفتول بزرگتر است. توزیع شدت اغتشاش های جریان هوا در فاصله  $X/D = 30$  برای عدد رینولدز ۳۱۴۰، در شکل ۱۴ نشان داده شده است. مطابق این شکل، در این حالت نیز شدت اغتشاش های جریان هوا برای سیم چند رشته ای از مفتول بیشتر است، اما مقدار آن نسبت به حالتی که عدد رینولدز ۱۵۷۰ می باشد، کمتر است.

مطابق روند ارائه شده در شکل های ۸ و ۱۱، مقادیر ضریب نیروی پسا ناشی از اختلاف مومنت و تنش های رینولدز، برای حالتی که عدد رینولدز ۳۱۴۰ می باشد، محاسبه شده است. این مقادیر در فاصله  $X/D = 35$  به ترتیب برای سیم چند رشته ای  $1/11$  و  $0/032$  و برای مفتول  $0/02$  می باشد. شکل ۱۵، توزیع سرعت بی بعد شده جریان هوا، برای سیم چند رشته ای و مفتول، برای عدد رینولدز  $10470$  در  $X/D = 30$  را نشان می دهد. در این حالت نیز توزیع سرعت جریان هوا برای سیم چند رشته ای نسبت به مفتول دارای نقصان بیشتری است، اما پهنه ای ناحیه دنباله برای دو مدل تقریباً برابر است. در نتیجه ضریب نیروی پسا ناشی از اختلاف مومنت برای سیم چند رشته ای با کمی اختلاف از مفتول بزرگتر است.

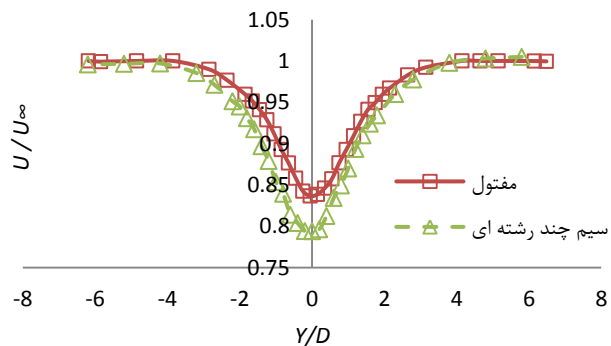
شکل ۱۶، توزیع شدت اغتشاش های جریان هوا در فاصله  $X/D = 30$  و عدد رینولدز  $10470$  برای سیم چند رشته ای و مفتول را نشان می دهد.



شکل ۱۶ توزیع شدت اغتشاش جریان هوا برای مدل های موردنیزایی عدد رینولدز  $3140$  در فاصله  $X/D = 30$



شکل ۱۱ توزیع ضریب نیروی پسا ناشی از تنش های رینولدز برای مدل های موردنیزایی عدد رینولدز  $1570$



شکل ۱۲ توزیع سرعت بی بعد شده جریان هوا برای مدل های موردنیزایی در فاصله  $X/D = 30$  برای عدد رینولدز  $3140$

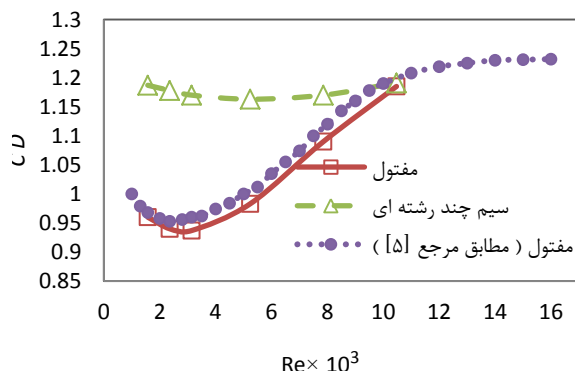


شکل ۱۳ توزیع ضریب نیروی پسا بر حسب فاصله بی بعد شده در پایین دست مدل های موردنیزایی عدد رینولدز  $1570$

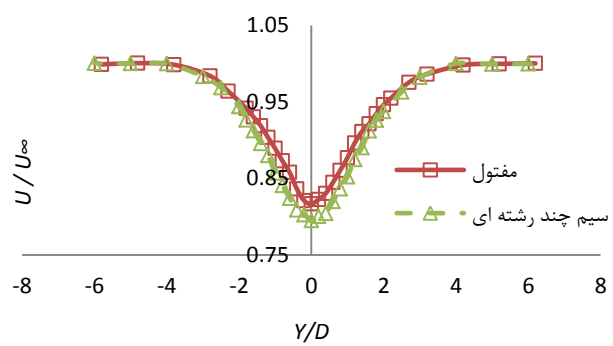
همان طور که در شکل ۱۳ دیده می شود، با افزایش فاصله در پایین دست، مقادیر ضریب نیروی پسا به اعداد حقیقی نزدیک می شوند. به طوری که در  $X/D = 35$  ضریب نیروی پسا مفتول به مقدار  $0/98$  رسیده که با نتایج حاصل از جدول

نزدیک به اعداد به دست آمده از مرجع [۵] بوده و تغییراتی مشابه با آن را دارند. همچنین مطابق شکل ۱۷، مقادیر ضریب نیروی پسا برای سیم چند رشته ای از مفتول بزرگتر بوده و برای اعداد رینولدز بین  $2000$  تا  $10^4$  تقریباً ثابت می باشد. در اعداد رینولدز حدود  $2000$  ، ضریب نیروی پسای سیم چند رشته ای تقریباً  $\% 23$  از مفتول بیشتر است که این اختلاف با افزایش عدد رینولدز کاهش می یابد، به طوری که در اعداد رینولدز بزرگتر از  $10^4$  ، ضریب نیروی پسای سیم چند رشته ای و مفتول بسیار نزدیک به هم هستند. با توجه به مرجع [۷]، با افزایش شدت اغتشاش های جریان آزاد، عدد رینولدز بحرانی (عدد رینولدزی که در آن جریان دچار گذار از حالت آرام به مغشوش می شود)، کاهش می یابد. همچنین زبری روی استوانه نیز سبب کاهش عدد رینولدز بحرانی می شود.

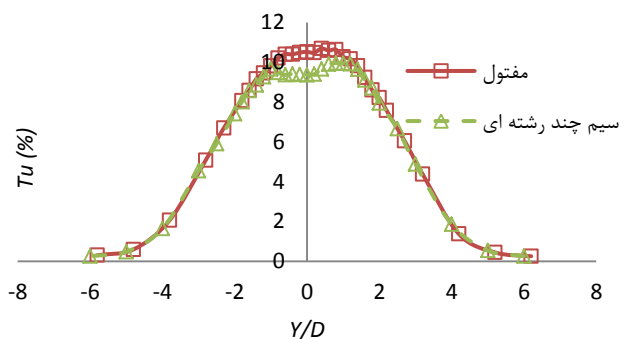
مطابق شکل ۱۸ نقصان سرعت جریان هوا در عدد رینولدز  $10470$  در مقایسه با عدد رینولدز  $1570$  مقدار کمی بیشتر است. همچنین پهنه ای ناحیه دنباله آن نیز نسبت به عدد رینولدز  $1570$  کمی بزرگتر است. با توجه به شکل ۳ و مرجع [۵]، جدایش جریان برای استوانه در اعداد رینولدز بین  $2000$  تا  $10^4$  به صورت آرام بوده و زاویه جدایش حدود  $80$  درجه می باشد. مقدار ضریب نیروی پسا بستگی به زاویه جدایش جریان از سطح دارد به طوری که برای اعداد رینولدز بزرگتر از  $10^4$  زاویه جدایش جریان، مقدار بزرگتری نسبت به اعداد رینولدز بین  $2000$  تا  $10^4$  دارد. با توجه به زبر بودن سطح سیم چند رشته ای نسبت به مفتول می توان توجیه کرد که ضریب نیروی پسا برای سیم چند رشته ای، معادل ضریب نیروی پسای مفتول در اعداد رینولدز بزرگتر است.



شکل ۱۷ توزیع ضریب نیروی پسا بر حسب عدد رینولدز برای مدل های مورد آزمایش



شکل ۱۵ توزیع سرعت بی بعد شده جریان هوا برای مدل های مورد آزمایش در فاصله  $X/D=30$  و عدد رینولدز  $10470$



شکل ۱۶ توزیع شدت اغتشاش جریان هوا برای مدل های مورد آزمایش در فاصله  $X/D=30$  و عدد رینولدز  $10470$

مطابق شکل ۱۶ در این حالت، به جز در مرکز ناحیه دنباله که شدت اغتشاش های جریان برای مفتول از سیم چند رشته ای بیشتر است، در سایر نقاط شدت اغتشاش ها تقریباً برابر هستند. در این حالت نیز ضرایب نیروی پسا ناشی اختلاف مومنتوم و تنش های رینولدز برای سیم چند رشته ای  $1/16$  و  $0/039$  و برای مفتول  $1/17$  و  $0/023$  محاسبه شده اند.

تغییرات ضریب نیروی پسای محاسبه شده بر حسب عدد رینولدز، برای سیم چند رشته ای و مفتول در شکل ۱۷ نشان داده شده است. همچنین تغییرات ضریب نیروی پسا برای مفتول بر حسب عدد رینولدز مطابق مرجع [۵]، نیز برای مقایسه بهتر در شکل فوق نشان داده شده است. مطابق شکل ۱۷، ضریب نیروی پسا در عدد رینولدز  $10^3$ ، حدود  $1$  بوده و با افزایش عدد رینولدز تا حدود  $2500$  مقدار کمی کاهش یافته و سپس سیر صعودی به خود گرفته و در عدد رینولدز  $10^4$  به مقدار  $1/2$  می رسد. سپس تا عدد رینولدز  $2 \times 10^5$  حدود  $1/2$  ثابت می ماند (شکل ۳). داده های مربوط به مفتول دارای مقادیر

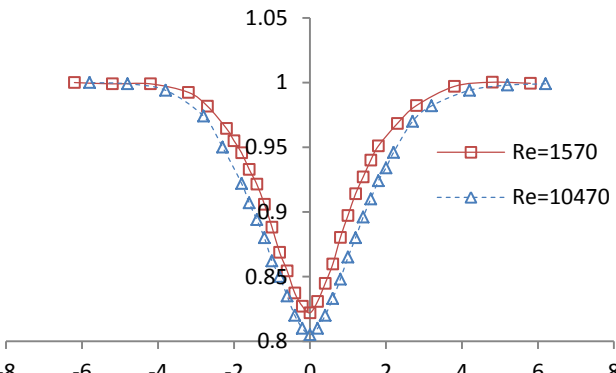
به منظور شناور ماندن افراد در محوطه پرواز تونل باد عمودی، برای انجام عملیات سقوط آزاد، لازم است که سرعت جریان هوا در این قسمت از تونل باد بین ۴۰ تا ۶۵ متر بر ثانیه باشد. بنابراین (چنان چه از سیم چند رشته ای به قطر ۲/۵ میلی متر در ساخت توری محافظ استفاده شود، عدد رینولدز حدود ۵۸۰۰ تا ۹۵۰۰ خواهد بود). مطابق شکل ۱۷ ضریب نیروی پسای سیم چند رشته ای در سرعت  $s/m = 40$  حدود ۱۵٪ و برای سرعت  $m/s = 65$  حدود ۳٪ بیشتر از مفتول می باشد که باید در طراحی تونل باد عمودی در نظر گرفته شود.

## ۵- نتیجه گیری

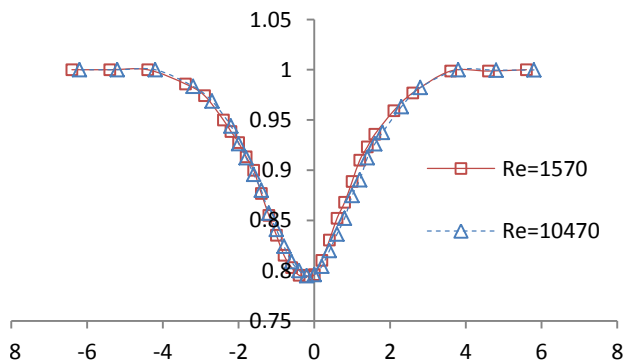
با توجه به بحث های صورت گرفته و آزمایش های انجام شده می توان نتایج زیر را ارائه کرد:

- برای اندازه گیری ضریب نیروی پسای مفتول و یا سیم چند رشته ای با قطرهای کوچک، استفاده از روش های بالانس نیرو و یا توزیع فشار روی سطح مدل، بسیار دشوار بوده و در مواردی امکان پذیر نیست. بنابراین مناسب است که در این موارد از روش اختلاف مومنت استفاده شده و با استفاده از دستگاه جریان سنج سیم داغ، توزیع سرعت جریان هوا و شدت اغتشاش های آن در پایین دست مدل اندازه گیری شود.
- در فواصل  $X/D > 30$ ، شدت اغتشاش های جریان هوا کمتر از ۱۰٪ بوده و می توان اغتشاش های جریان را با دقت قابل قبولی همگن در نظر گرفته و از جریان سنج با پر ایک بعدی برای اندازه گیری ضریب نیروی پسای استفاده کرد. شایان ذکر است که خطای اندازه گیری در این حالت به کمتر از ۴٪ کاهش می یابد. همچنین در این فاصله، ضریب نیروی پسای ناشی از اختلاف مومنت و تنش های رینولدز به ترتیب حدود ۹۷٪ و ۳٪ از کل ضریب نیروی پسای را به خود اختصاص می دهند.
- سیم چند رشته ای دارای ۱۶٪ زبری بوده و در نتیجه رینولدز مؤثر آن به عدد رینولدز بالاتری منتقل می شود. لذا ضریب نیروی پسای سیم چند رشته ای برای اعداد رینولدز  $10^3 \times 10^4$  تا  $10^4$  از مفتول بیشتر است. در اعداد رینولدز بالاتر از  $10^4$ ، مقدار ضریب نیروی پسای سیم چند رشته ای و مفتول تقریباً ثابت و برابر ۱/۲ می باشدند.
- از آنجا که محدوده سرعت جریان هوا در محوطه پرواز تونل باد عمودی جهت شبیه سازی سقوط آزاد بین ۴۰ تا ۶۵

برای بررسی بیشتر، توزیع سرعت جریان هوا در فاصله  $X/D = 30$  برای مفتول و در اعداد رینولدز ۱۵۷۰ و ۱۰۴۷۰ در شکل ۱۸ نشان داده شده است. شکل ۱۹ نیز توزیع سرعت جریان هوا برای سیم چند رشته ای در فاصله  $X/D = 30$  برای اعداد رینولدز ۱۵۷۰ و ۱۰۴۷۰ را نشان می دهد. مطابق شکل ۱۹، پهنه ای ناحیه دنباله و نقصان سرعت جریان هوا برای سیم چند رشته ای در اعداد رینولدز ۱۵۷۰ و ۱۰۴۷۰ مشابه یکدیگر می باشند. بنابراین می توان نتیجه گرفت که ضریب نیروی پسای سیم چند رشته ای برای اعداد رینولدز ۱۵۷۰ تا ۱۰۴۷۰ تقریباً ثابت می ماند. با توجه به بحث های صورت گرفته مشخص می شود که ضریب نیروی پسای سیم چند رشته ای در عدد رینولدز ۱۵۷۰ حدود ۱۶٪ از مفتول بزرگتر می باشد. در اعداد رینولدز حدود ۱۰۴۷۰، ضریب نیروی پسای سیم چند رشته ای مشابه با مفتول است.



شکل ۱۸ توزیع سرعت جریان هوا در فاصله  $X/D = 30$  برای مفتول در اعداد رینولدز ۱۵۷۰ و ۱۰۴۷۰



شکل ۱۹ توزیع سرعت جریان هوا در فاصله  $X/D = 30$  برای سیم چند رشته ای در اعداد رینولدز ۱۵۷۰ و ۱۰۴۷۰

- [3] Goldstein, S., "A Note on the Measurement of Total Head and Static Pressure in a Turbulent Stream", *Proceedings of the Royal Society of London*, Series A, Vol. 155, 1936, pp. 570-575.
- [4] M.A. Ardakani, *Hotwire Anemometer*, khajeh nasir toosi university of technology publications, Tehran, 2006.(In Persian)
- [5] Schlichting H. *Boundary-Layertheory*, 8<sup>nd</sup> Edition, McGraw-Hill, Series in Mechanical Engineering. New York, 2004.
- [6] Antonia, R. A. and Rajagopalan, S., "Determination of Drag of a Circular Cylinder", *AIAA Journal*, Vol. 28, No. 10, 1990, pp. 1833-1834.
- [7] Zdravkovich M.M., "Conceptual Overview of Laminar and Turbulent Flows Past Smooth and Rough Circular Cylinders", *International Colloquium on Bluff Body Aerodynamics and Applications*, Kyoto, Japan, 1990.

متر بر ثانیه است، لذا چنان چه از سیم چند رشته ای به قطر ۲/۵ میلی متر در ساخت توری محافظ استفاده شود، عدد رینولدز بین ۵۸۰۰ تا ۹۵۰۰ خواهد بود. هنگامی که عدد رینولدز ۵۸۰۰ می باشد، ضریب نیروی پسا سیم چند رشته ای حدود ۱۵٪ بیشتر از مفتول می باشد. ولی هنگامی که عدد رینولدز ۹۵۰۰ می باشد، این اختلاف کاهش یافته و حدود ۲٪ خواهد بود.

## ۶- مراجع

- [1] Rae, W. and Pope, A., *Low-Speed Wind Tunnel Testing*, 2<sup>nd</sup> Edition, John Wiley & Sons, Inc. New York., 1984.
- [2] Van Dam, C. P., "Recent Experience with Different Methods of Drag Prediction", *Progress in Aerospace Sciences*, Vol. 35, pp. 751-798, 1999.